

การสังเคราะห์สารประกอบดีบุกอินทรีย์เป็นสารเพิ่มคุณภาพในน้ำมันหล่อลื่น



นางสาว ผ่องศรี ไวยาวัจมัย

ศูนย์วิทยทรัพยากร

วิทยานิพนธ์นี้ เป็นส่วนหนึ่งของการศึกษาตามหลักสูตรปริญญาวิทยาศาสตร์มหาบัณฑิต
สาขาวิชาปิโตรเคมี

บัณฑิตวิทยาลัย จุฬาลงกรณ์มหาวิทยาลัย

พ.ศ. 2532

ISBN 974-576-985-1

ลิขสิทธิ์ของบัณฑิตวิทยาลัย จุฬาลงกรณ์มหาวิทยาลัย

017843
๒๐๑๒๖๙๘๖๙

SYNTHESIS OF ORGANOTIN COMPOUNDS AS LUBRICATING OIL ADDITIVES

Miss Pongsri Waiyavatjamai

A Thesis Submitted in Partial Fulfillment of the Requirements

for the Degree of Master of Science

Program of Petrochemistry

Graduate school

Chulalongkorn University

1989

ISBN 974-576-985-1

หัวชื่อวิทยานิพนธ์ การสังเคราะห์สารประกอบดีบุกอินทรีย์เป็นสารเพิ่มคุณภาพในน้ำมันหล่อลื่น
โดย นางสาวฝ่องศรี ไวยวัฒน์
สาขาวิชา ปิโตรเคมี
อาจารย์ที่ปรึกษา อาจารย์ ดร. เนียมพรรค ทัศคร



บัณฑิตวิทยาลัย จุฬาลงกรณ์มหาวิทยาลัย อนุมัติให้วิทยานิพนธ์ฉบับนี้ เป็นส่วนหนึ่งของ
การศึกษาตามหลักสูตรปรัญญามหาบัณฑิต

สม ธรรม
(ศาสตราจารย์ ดร. สม ธรรม)

คณบดีบัณฑิตวิทยาลัย

กรรมการสอบวิทยานิพนธ์

ธีระ พัฒนา
(รองศาสตราจารย์ ดร. ธีระ พัฒนา ประศาสน์สารกิจ)

ประธานกรรมการ

ปัญญา วงศ์
(อาจารย์ ดร. ปัญญา วงศ์)

อาจารย์ที่ปรึกษา

มนัส ธรรม
(รองศาสตราจารย์ ดร. มนัส ธรรม อรรถยากร)

กรรมการ

นิตยา ธรรมชาติวัฒน์
(ผู้ช่วยศาสตราจารย์ ดร. นิตยา ธรรมชาติวัฒน์ เสียงประเสริฐกิจ)

กรรมการ

ผ่องศรี ไวยวัฒน์ : การสังเคราะห์สารประกอบดีบุกอินทรีย์เป็นสารเพิ่มคุณภาพในน้ำมันหล่อลื่น (SYNTHESIS OF ORGANOTIN COMPOUNDS AS LUBRICATING OIL ADDITIVES) อาจารย์ที่ปรึกษา : อ. ดร. เพียรพรรค ทัศศร , 172 หน้า , ISBN 974-576-985-1

ในงานวิจัยนี้ ได้ทำการสังเคราะห์สารประกอบดีบุกอินทรีย์โดยวิธีกรินยาด์ เพื่อใช้เป็นสารต้านปฏิกิริยาออกซิเดชัน และสารต้านการเกิดสนิม สารประกอบดีบุกอินทรีย์ที่สังเคราะห์ได้แก่ เตตราบิวทิลกิน , เตตราออกทิลกิน , เตตราฟีนิลกิน , ไตรบิวทิลกินคลอไรด์ , ไตรออกทิลกินคลอไรด์ , ไตรฟีนิลกินคลอไรด์ , ไบบิวทิลกินไดคลอไรด์ , ไบฟีนิลกินไดคลอไรด์ , ไตรบิวทิลกินไดออกซิล ไดไฮโอดิคาร์บามेट , ไตรออกทิลกินไดออกซิล ไดไฮโอดิคาร์บามेट , ไตรฟีนิลกินไดออกซิล ไดไฮโอดิคาร์บามेट , ไบบิวทิลกิน บิส ไดออกซิล ไดไฮโอดิคาร์บามे�ต และไบฟีนิลกิน บิส ไดออกซิล ไดไฮโอดิคาร์บามे�ต การศึกษาการละลายของสารประกอบดีบุกอินทรีย์ ไบบิวทิลกิน บิส ไดออกซิล ไดไฮโอดิคาร์บามे�ต ไบฟีนิลกินไดคลอไรด์ และ ไบบิวทิลกิน บิส ไดออกซิล ไดไฮโอดิคาร์บามे�ต พบว่าสารประกอบของ ไบบิวทิลกินไดคลอไรด์ และ ไบบิวทิลกิน บิส ไดออกซิล ไดไฮโอดิคาร์บามे�ต มีการละลายในน้ำมันหล่อลื่น ดีที่สุด เมื่อทดลองนำสารประกอบดีบุกอินทรีย์เหล่านี้ ละลายในน้ำมันหล่อลื่นพื้นฐาน ที่ใช้ในอุตสาหกรรม แล้วนำไปตรวจสอบคุณสมบัติการต้านปฏิกิริยาออกซิเดชันโดยวิธี TGA พบว่า เมื่อเติมสารประกอบของ ไบบิวทิลกิน บิส ไดออกซิล ไดไฮโอดิคาร์บามे�ต เช็มชัน 0.1% ลงไป จะทำให้ค่าออกซิเดชันโปรดักส์ลดลง 3.6 % จากน้ำมันหล่อลื่นพื้นฐานที่ไม่ได้เติมสารเพิ่มคุณภาพใด ๆ ลงไป ส่วนสารต้านปฏิกิริยาออกซิเดชันที่ใช้ในอุตสาหกรรมจะทำให้ค่าออกซิเดชันลดลง 3.9 % ส่วนคุณสมบัติการเกิดสนิม โดยวิธี ASTM D 665 พบว่าสารประกอบดีบุกอินทรีย์คลอไรด์ ทุกตัว ทำให้เกิดสนิม ปานกลาง-รุนแรง ในขณะที่สารประกอบดีบุกอินทรีย์ที่มีฟูอินทรีย์สีเขียว และสารประกอบดีบุกอินทรีย์ไดออกซิล ไดไฮโอดิคาร์บามे�ตจะทำให้เกิดสนิมน้อย

เมื่อทำการทดสอบสารประกอบของ ไบบิวทิลกิน บิส ไดออกซิล ไดไฮโอดิคาร์บามे�ต กับน้ำมันหล่อลื่นที่ได้จากการแยกไข พบว่าสามารถต้านปฏิกิริยาออกซิเดชันได้ แต่เมื่อใช้กับน้ำมันหล่อลื่นที่ใช้งานแล้วผ่านการบำบัดด้วยวิธี acid/clay ปรากฏว่าไม่ได้ผล



ภาควิชา สหสาขาวิชาปีตรเคมี พลิเมอร์
สาขาวิชา มีตรเคมี
ปีการศึกษา 2532.

ลายมือชื่อนักศึกษา

ลายมือชื่ออาจารย์ที่ปรึกษา /.....

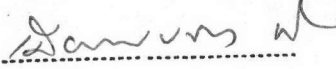
ลายมือชื่ออาจารย์ที่ปรึกษาร่วม

PONGSRI WAIYAVATJAMAI : SYNTHESIS OF ORGANOTIN COMPOUNDS AS LUBRICATING OIL ADDITIVES. THESIS ADVISOR : PIENPAK TASAKORN Ph.D , 172 pp. ISBN 974-576-985-1

Organotin compounds were synthesized by Grignard method , for use as lubricating oil anti-oxidant and anti-rust additive. The following organotin compounds synthesized were tetrabutyltin , tetraoctyltin, tetraphenyltin , tributyltin chloride , trioctyltin chloride , triphenyltin chloride , dibutyltin dichloride , diphenyltin dichloride , tributyltin diethyldithiocarbamate , trioctyltin diethyldithiocarbamate, triphenyltin diethyldithiocarbamate , dibutyltin bis diethyldithiocarbamate , diphenyltin bis diethyldithiocarbamate. A test on solubility of organotin compound in lubricating oil base , indicated that dibutyltin dichloride and dibutyltin bis diethyldithiocarbamate showed best results. Anti-oxidant characteristics were investigated by TGA method , It was found that dibutyltin bis diethyldithiocarbamate at 0.1 % wt in base oil could reduce oxidation product 3.6 % comparable to a commercial anti-oxidant which was 3.9 % base on additive-free base oil. A test for anti-rust property , by ASTM D 665 , indicated that organotin chloride caused moderate to severe rusting while low rusting was observed for tetraorganotin and organotin diethyldithiocarbamate.

Dibutyltin bis diethyldithiocarbamate was added to dewaxed oil , it could be used satisfactorily as anti-oxidant. However , it was not effective when used with reused lubricating oil treated by acid/clay process.

ภาควิชา .. สาขาวิชาปีโตรเคมี - โพลิเมอร์
สาขาวิชา .. ปีโตรเคมี ..
ปีการศึกษา .. ๒๕๓๒ ..

ลายมือชื่อนิสิต .. 
ลายมือชื่ออาจารย์ที่ปรึกษา .. 
ลายมือชื่ออาจารย์ที่ปรึกษาร่วม ..



กิติกรรมประกาศ

ผู้วิจัยขอกราบขอบพระคุณ อาจารย์ ดร. เนียพรรค ทัศcar อาจารย์ที่ปรึกษา วิทยานิพนธ์ที่ได้กรุณาให้คำแนะนำ คำปรึกษา และความช่วยเหลือ เป็นอย่างดียิ่งทึ้ง วิชาการ และ เครื่องมือที่ใช้ในการทดลอง ตลอดจนวิธีและขั้นตอนการทดลอง และ ขอบพระคุณ ผู้ช่วยศาสตราจารย์ ดร. รัตนา เลียงประเสริฐกิจ ชั้ngrุณากช่วยให้คำแนะนำเพื่อส่งเสริม งานวิจัยนี้ให้สำเร็จลุล่วงไปด้วยดี

ขอบพระคุณ ดร. พิชัย โตวิชญ์ ศาสตราจารย์ ดร. เพ็ชร สิงห์สุนทร ดร. ไสว เริงสำราญ และ ดร. ออมร เพชรสม ที่ได้ให้ความอนุเคราะห์สถานที่ทำการทดลอง และขอบคุณเพื่อน, นิติบัญญา โพเคนี และผู้ช่วยวิจัย โครงการวิจัยโลหะดีบุกอินทรีย์ทุกท่าน ที่ให้ ความร่วมมือ และช่วยเหลือตลอดการทดลอง

ขอบพระคุณ ทุนอุดหนุนการวิจัยของบัณฑิตวิทยาลัย จุฬาลงกรณ์มหาวิทยาลัย ที่สนับสนุน ด้านเงินทุนเพื่อการวิจัยนี้ ขอบพระคุณ บริษัท เอสไซส์แทนดาร์ดประเทศไทย จำกัด ที่ได้สนับสนุน สารเคมี และขอบคุณกองควบคุมคุณภาพ การปฏิตริเสย์แห่งประเทศไทย ในการช่วยตรวจสอบ คุณสมบัติของน้ำมันหล่อลื่น

ขอบพระคุณ เจ้าหน้าที่ ศูนย์เครื่องมือจุฬาลงกรณ์มหาวิทยาลัย ที่ให้ความร่วมมือในการวิจัย เป็นอย่างดียิ่ง

ขอบพระคุณ คุณไฟรัช บุญรพชัยศรี รองกรรมการผู้จัดการใหญ่ บริษัท เมโทรแมชีนเนอรี่ จำกัด ที่ได้ยินยอมให้ผู้วิจัยได้ใช้เวลาในการทำงานส่วนหนึ่งของบริษัท เพื่อมาใช้ในการทำวิจัย และ ขอบพระคุณ หัวหน้างาน และเพื่อน ๆ ที่ บริษัทเมโทรแมชีนเนอรี่ จำกัด ทุกท่าน ที่เคยสนับสนุน และ ให้กำลังใจตลอดมา

ขอบพระคุณ คุณสุนทร วงศ์กวีสุข ที่เคยสนับสนุนและให้กำลังใจในการทำวิจัยนี้ด้วยดี

ตลอดมา

ผ่องศรี ไวยาวัจมัย



สารบัญ

หน้า

บทคัดย่อภาษาไทย	ก
บทคัดย่อภาษาอังกฤษ	ข
กิตติกรรมประกาศ	ค
รายการตารางประกอบ	ง
รายการรูปประกอบ	ฉ
คำอธิบายสัญลักษณ์และคำย่อ	ภ
บทที่	

1	บทนำ	1
	1.1 มูลเหตุจุงใจการวิจัย	1
	1.2 วัตถุประสงค์และขอบเขตของงานวิจัย	2
	1.3 ประโยชน์ที่คาดว่าจะได้รับจากการวิจัย.....	3
2	น้ำมันหล่อลื่น	5
	2.1 องค์ประกอบน้ำมันหล่อลื่น	5
	2.2 คุณสมบัติสำคัญและวิธีทดสอบ	16
	2.3 การแบ่งประเภทน้ำมันหล่อลื่น	19
	2.4 วิธีการนำน้ำมันหล่อลื่นใช้งานแล้วกลับมาใช้ใหม่	24
3	ปฏิกริยาออกซิเดชัน	28
	3.1 กลไกการเกิดปฏิกริยา	28
	3.2 ผู้ตอบการขับยั้งปฏิกริยา	29
	3.3 การจัดแบ่งชนิดของสารต้านปฏิกริยาออกซิเดชัน	33

สารบัญ (ต่อ)

บทที่	หน้า
3.4 การใช้ประโยชน์ของสารต้านปฏิกิริยาออกซิเดชันในอุตสาหกรรมต่าง ๆ 38	
3.5 การวัดค่าเสถียรภาพของน้ำมันหล่อลื่นต่อบนปฏิกิริยาออกซิเดชันด้วย TGA .40	
4 สารประกอบดีบุกอินกรีด์ 47	
4.1 สารประกอบดีบุกอินกรีด์ที่มีหม้ออินกรีด์สั่นหมู่ 48	
4.2 สารประกอบดีบุกอินกรีด์ที่มีหม้ออินกรีด์สามหมู่ 53	
4.3 สารประกอบดีบุกอินกรีด์ที่มีหม้ออินกรีด์สองหมู่ 58	
4.4 สารประกอบดีบุกอินกรีด์ที่มีหม้ออินกรีด์หนึ่งหมู่ 63	
4.5 สารประกอบดีบุกอินกรีด์ที่มีดีบุกสองอะตอน 65	
4.6 สารประกอบเชิงช้อนดีบุกอินกรีด์ 66	
4.7 ความเป็นพิษของสารประกอบดีบุกอินกรีด์ 67	
5 การใช้สารประกอบดีบุกอินกรีด์และอนพันธ์ เป็นสารเพิ่มคุณภาพ ในน้ำมันหล่อลื่น 71	
5.1 งานวิจัยในอดีต 71	
5.2 สมมุติฐานเมื่อใช้เป็นสารต้านปฏิกิริยาออกซิเดชัน 73	
5.3 สมมุติฐานเมื่อใช้เป็นสารป้องกันสนิม 76	
6 อุปกรณ์และวิธีการทดลอง 79	
6.1 อุปกรณ์ที่ใช้ในการทดลอง 79	
6.2 เครื่องมือที่ใช้ในการทดลอง 84	
6.3 สารเคมีที่ใช้ 84	

สารบัญ (ต่อ)

บทที่

หน้า

6.4 วิธีการทดลอง	85
6.4.1 นำบดน้ำมันเครื่องใช้แล้วโดยวิธี Acid/Clay Treatment ..	85
6.4.2 สังเคราะห์สารประกอบดินกุกอินทรีย์ที่มีหมูอินทรีย์สีมุก ..	87
6.4.3 สังเคราะห์สารประกอบดินกุกอินทรีย์ที่มีหมูอินทรีย์สามหมู่ ..	89
6.4.4 สังเคราะห์สารประกอบดินกุกอินทรีย์ที่มีหมูอินทรีย์สองหมู่ ..	90
6.4.5 สังเคราะห์สารประกอบดินกุกอินทรีย์ไดออกซิลไดไฮดรอ-	
คลาร์บานเบต	91
6.4.6 ทำการละลายของสารประกอบดินกุกอินทรีย์และอนุพันธ์ ..	93
6.4.7 ตรวจสอบคุณสมบัติการต้านปฏิกิริยาออกซิเดชัน	93
6.4.8 ตรวจสอบคุณสมบัติการป้องกันการเกิดสนิม	94
7 ผลการทดลอง การวิจารณ์ และ วิเคราะห์ผล	96
8 สิ่งปลูกและข้อเสนอแนะ	140
8.1 สิ่งปลูกการทดลอง	140
8.2 ข้อเสนอแนะ	141
เอกสารอ้างอิง	143
ภาคผนวก	146
ก. อินฟราเรดสเปกตรัมของสารประกอบดินกุกอินทรีย์	147
ข. H^1 NMR สเปกตรัมของสารประกอบดินกุกอินทรีย์	154
ค. กราฟ TGA ของสารประกอบดินกุกอินทรีย์	159
ประวัติผู้เขียน	172

รายการตารางประกอบ

ตารางที่	หน้า
2.1 ความหนืดของน้ำมันหล่อลื่นเครื่องยนต์และน้ำมันเกียร์เบอร์ SAE ต่าง ๆ.....	20
2.2 ความหนืดของน้ำมันเบอร์ ISO ต่าง ๆ.....	23
3.1 วิธีมาตรฐานที่ใช้ในการวัดค่าเสถียรภาพต่อบุกริยาออกซิเดชัน.....	41
3.2 ค่าออกซิเดชันโปรดักส์และออกซิเดชันเพอยท์ที่ความเข้มข้นต่าง ๆ ของ ZDDP...	45
4.1 คุณสมบัติทางกายภาพของสารประกอบดีบุกอินทรีย์ที่มีหมูอินทรีย์สีหมู.....	49
4.2 คุณสมบัติทางกายภาพของสารประกอบดีบุกอินทรีย์ที่มีหมูอินทรีย์สามหมู.....	54
4.3 คุณสมบัติทางกายภาพของสารประกอบดีบุกอินทรีย์สองหมู.....	59
4.4 สารประกอบดีบุกอินทรีย์สองหมูที่นิยมใช้ในเชิงพาณิชย์.....	62
4.5 คุณสมบัติทางกายภาพของสารประกอบดีบุกอินทรีย์ทึ่งหมู.....	63
4.6 ความเป็นพิษของสารประกอบดีบุกอินทรีย์ที่มีหมูอินทรีย์สามหมู.....	68
4.7 ความเป็นพิษของสารประกอบดีบุกอินทรีย์ที่มีหมูอินทรีย์สองหมู.....	69
7.1 ผลของความร้อนที่มีต่อคุณสมบัติของน้ำมันหล่อลื่น.....	97
7.2 ผลของความเร็วรอบที่มีต่อคุณสมบัติของน้ำมันหล่อลื่น.....	100
7.3 ผลของเวลาที่ใช้กวนที่มีต่อคุณสมบัติของน้ำมันหล่อลื่น.....	101
7.4 ผลของปริมาณกรดชัลฟูริกที่ใช้ต่อคุณสมบัติของน้ำมันหล่อลื่น.....	102
7.5 คุณสมบัติทางกายภาพของสารประกอบดีบุกอินทรีย์ที่สังเคราะห์.....	104
7.6 ปริมาณชาตุในสารประกอบดีบุกอินทรีย์.....	108
7.7 โครงสร้างของสารประกอบดีบุกอินทรีย์จากอินฟราเรดสเปกตรัม.....	109
7.8 H ¹ NMR data ของสารประกอบดีบุกอินทรีย์ไดเออกซิล ไดไฮด์โอดาร์บามেต....	112
7.9 การเปรียบเทียบปริมาณผลิตที่ได้จากการสังเคราะห์สารประกอบดีบุกอินทรีย์ชนิดต่าง ๆ.....	113
7.10 ผลของความเข้มข้นของสารต่าง ๆ ที่มีต่ออุณหภูมิการละลายและการตกตะกอน.	117
7.11 สมการการละลายและการตกตะกอนของสารประกอบดีบุกอินทรีย์.....	131
7.12 ผลของชนิดน้ำมันหล่อลื่นพื้นฐานที่มีต่ออุณหภูมิการละลายและการตกตะกอน.....	132

รายการตารางประกอบ (ต่อ)

ตารางที่

หน้า

7.13	ค่า oxidation stability ของสารเพิ่มคุณภาพชนิดต่าง ๆ ที่ความเข้มข้น 0.1% ใน solvent 150.....	135
7.14	ความสัมพันธ์ระหว่างค่า ออกซิเดชัน พอยท์ และ ออกซิเดชัน โปรดักส์ กับความเข้มข้นของสารเพิ่มคุณภาพต่าง ๆ.....	136
7.15	ค่า ออกซิเดชัน พอยท์ และ ออกซิเดชัน โปรดักส์ ของ $Bu_2Sn(dtcs)_2$ ในน้ำมันหล่อลื่นพื้นฐานชนิดต่าง ๆ.....	137
7.16	คุณสมบัติการป้องกันสนิมของสารเพิ่มคุณภาพชนิดต่าง ๆ.....	138

**ศูนย์วิทยทรัพยากร
จุฬาลงกรณ์มหาวิทยาลัย**

รายการรูปประกอบ

รูปที่	หน้า
2.1 แผนภูมิการผลิตน้ำมันเหลืองลีน.....	7
2.2 โครงสร้างไม้เล็กุลของน้ำมันเหลืองลีน.....	8
2.3 โครงสร้างของสารประกอบบีโตรเลียมชีลฟอนนิกแอซิด.....	10
2.4 โครงสร้างของสารชาลลังทำความส่องอาท.....	11
2.5 โครงสร้างของเกลือ โลหะที่อนพันธ์ของฟีโนเลตุกแแกเก็ตด้วยสารประกอบพากไช.....	11
2.6 โครงสร้างไม้เล็กุลของสารกระจาดเข้ม่า.....	13
2.7 โครงสร้างไม้เล็กุลของเอสเทอร์ที่ใช้เป็นสารกระจาดเข้ม่า.....	13
2.8 โครงสร้างของสารเพิ่มคราฟนีความหมืด.....	14
2.9 กราฟแสดงความสัมพันธ์ระหว่างความเข้มข้นของสารกับอุณหภูมิที่จุดไฟ燃.....	15
3.1 โครงสร้างไม้เล็กุลของสารต้านปฏิกิริยาออกซิเดชัน.....	31
3.2 กราฟเปรียบเทียบการละลายของสารระหว่างปฏิกิริยาความร้อนและปฏิกิริยาออกซิเดชัน.....	42
3.3 ความสัมพันธ์ระหว่างค่าออกซิเดชันโปรดักส์ ชั่งหาโดยวิธี TGA และ IP 306..	45
3.4 ความสัมพันธ์ระหว่างความเข้มข้นของสารกับค่าออกซิเดชันโปรดักส์ที่หาโดยวิธี TGA.....	45
4.1 ปฏิกิริยาเคมีที่สำคัญของสารประกอบดีบุกอินทรีย์ที่มีหมู่อินทรีย์สามหมู่.....	56
5.1 ปฏิกิริยาการเกิดสนิม.....	77
6.1 อุปกรณ์รายละเอียดแผนภาพถังกวน.....	80
6.2 ถังกวนและฝาครอบที่ยังไม่ประกอบเข้าชุด.....	80
6.3 ถังกวนและฝาครอบที่ประกอบเข้าชุดแล้ว.....	80
6.4 เครื่องมือที่ใช้ในการลังเคราะห์สารประกอบดีบุกอินทรีย์.....	81
6.5 เครื่องมือที่ใช้ทำการละลายและการตกตะกอนของสาร.....	82
6.6 เครื่องมือที่ใช้ในการทดสอบคุณสมบัติการป้องกันสนิม (รายละเอียดภายใน).....	83
6.7 เครื่องมือที่ใช้ในการทดสอบคุณสมบัติการป้องกันสนิม.....	83
7.1 ปริมาณผลิตของสารประกอบดีบุกอินทรีย์ชนิดต่าง ๆ ที่ลังเคราะห์ได.....	114

รายการรูปประกอบ (ต่อ)

รูปที่

หน้า

7.2	กราฟแสดงความสัมพันธ์ระหว่างความเข้มข้นของ antioxidant กับอุณหภูมิ การละลาย.....	121
7.3	กราฟแสดงความสัมพันธ์ระหว่างความเข้มข้นของ antioxidant กับอุณหภูมิ การตกตะกอน.....	121
7.4	กราฟแสดงความสัมพันธ์ระหว่างความเข้มข้นของ $Zn(dtc)_2$ กับอุณหภูมิ การละลาย.....	122
7.5	กราฟแสดงความสัมพันธ์ระหว่างความเข้มข้นของ $Zn(dtc)_2$ กับอุณหภูมิ การตกตะกอน.....	122
7.6	กราฟแสดงความสัมพันธ์ระหว่างความเข้มข้นของ Bu_2SnCl_2 กับอุณหภูมิ การละลาย.....	123
7.7	กราฟแสดงความสัมพันธ์ระหว่างความเข้มข้นของ Bu_2SnCl_2 กับอุณหภูมิ การตกตะกอน.....	123
7.8	กราฟแสดงความสัมพันธ์ระหว่างความเข้มข้นของ $Bu_3Sn(dtc)$ กับอุณหภูมิ การละลาย.....	124
7.9	กราฟแสดงความสัมพันธ์ระหว่างความเข้มข้นของ $Bu_3Sn(dtc)$ กับอุณหภูมิ การตกตะกอน.....	124
7.10	กราฟแสดงความสัมพันธ์ระหว่างความเข้มข้นของ $Bu_2Sn(dtc)_2$ กับอุณหภูมิ การละลาย.....	125
7.11	กราฟแสดงความสัมพันธ์ระหว่างความเข้มข้นของ $Bu_2Sn(dtc)_2$ กับอุณหภูมิ การตกตะกอน.....	125
7.12	กราฟแสดงความสัมพันธ์ระหว่างความเข้มข้นของ Ph_4Sn กับอุณหภูมิ การละลาย.....	126
7.13	กราฟแสดงความสัมพันธ์ระหว่างความเข้มข้นของ Ph_4Sn กับอุณหภูมิ การตกตะกอน.....	126

รายการรูปประกอบ (ต่อ)

รูปที่	หน้า
7.14 กราฟแสดงความสัมพันธ์ระหว่างความเข้มข้นของ Ph_3SnCl กับอุณหภูมิการละลาย.....	127
7.15 กราฟแสดงความสัมพันธ์ระหว่างความเข้มข้นของ Ph_3SnCl กับอุณหภูมิการตกตะกอน.....	127
7.16 กราฟแสดงความสัมพันธ์ระหว่างความเข้มข้นของ Ph_2SnCl_2 กับอุณหภูมิการละลาย.....	128
7.17 กราฟแสดงความสัมพันธ์ระหว่างความเข้มข้นของ Ph_2SnCl_2 กับอุณหภูมิการตกตะกอน.....	128
7.18 กราฟแสดงความสัมพันธ์ระหว่างความเข้มข้นของ $\text{Ph}_3\text{Sn}(\text{dtc})$ กับอุณหภูมิการละลาย.....	129
7.19 กราฟแสดงความสัมพันธ์ระหว่างความเข้มข้นของ $\text{Ph}_3\text{Sn}(\text{dtc})$ กับอุณหภูมิการตกตะกอน.....	129
7.20 กราฟแสดงความสัมพันธ์ระหว่างความเข้มข้นของ $\text{Ph}_2\text{Sn}(\text{dtc})_2$ กับอุณหภูมิการละลาย.....	130
7.21 กราฟแสดงความสัมพันธ์ระหว่างความเข้มข้นของ $\text{Ph}_2\text{Sn}(\text{dtc})_2$ กับอุณหภูมิการตกตะกอน.....	130
ก.1 อินฟราเรดスペกตรัมของ Bu_4Sn	147
ก.2 อินฟราเรดスペกตรัมของ Bu_3SnCl	147
ก.3 อินฟราเรดスペกตรัมของ Bu_2SnCl_2	148
ก.4 อินฟราเรดスペกตรัมของ $\text{Bu}_3\text{Sn}(\text{dtc})$	148
ก.5 อินฟราเรดスペกตรัมของ $\text{Bu}_2\text{Sn}(\text{dtc})_2$	149
ก.6 อินฟราเรดスペกตรัมของ Oct_4Sn	149
ก.7 อินฟราเรดスペกตรัมของ Oct_3SnCl	150
ก.8 อินฟราเรดスペกตรัมของ $\text{Oct}_3\text{Sn}(\text{dtc})$	150
ก.9 อินฟราเรดスペกตรัมของ Ph_4Sn	151

รายการรูปประกอบ (ต่อ)

รูปที่

หน้า

ก.10	อินฟราเรดสเปกตรัมของ Ph_3SnCl	151
ก.11	อินฟราเรดสเปกตรัมของ Ph_2SnCl_2	152
ก.12	อินฟราเรดสเปกตรัมของ $\text{Ph}_3\text{Sn}(\text{dtc})$	153
ก.13	อินฟราเรดสเปกตรัมของ $\text{Ph}_2\text{Sn}(\text{dtc})_2$	153
ก.1	H^1 NMR สเปกตรัม ของ $\text{Bu}_3\text{Sn}(\text{dtc})$	154
ก.2	H^1 NMR สเปกตรัม ของ $\text{Bu}_2\text{Sn}(\text{dtc})_2$	155
ก.3	H^1 NMR สเปกตรัม ของ $\text{Oct}_3\text{Sn}(\text{dtc})$	156
ก.4	H^1 NMR สเปกตรัม ของ $\text{Ph}_3\text{Sn}(\text{dtc})$	157
ก.5	H^1 NMR สเปกตรัม ของ $\text{Ph}_2\text{Sn}(\text{dtc})_2$	158
ค.1	กราฟ TGA ของ Solvent 150	159
ค.2	กราฟ TGA ของ antioxidant ที่ความเข้มข้น 0.1% ใน solvent 150..	159
ค.3	กราฟ TGA ของ antioxidant ที่ความเข้มข้น 0.25% ใน solvent 150.	160
ค.4	กราฟ TGA ของ antioxidant ที่ความเข้มข้น 0.5% ใน solvent 150..	160
ค.5	กราฟ TGA ของ antioxidant ที่ความเข้มข้น 1.0% ใน solvent 150..	161
ค.6	กราฟ TGA ของ antioxidant ที่ความเข้มข้น 2.0% ใน solvent 150..	161
ค.7	กราฟ TGA ของ $\text{Zn}(\text{dtc})_2$ ที่ความเข้มข้น 0.1% ใน solvent 150.....	162
ค.8	กราฟ TGA ของ Bu_4Sn ที่ความเข้มข้น 0.1% ใน solvent 150.....	162
ค.9	กราฟ TGA ของ Bu_3SnCl ที่ความเข้มข้น 0.1% ใน solvent 150.....	163
ค.10	กราฟ TGA ของ Bu_2SnCl_2 ที่ความเข้มข้น 0.1% ใน solvent 150.....	163
ค.11	กราฟ TGA ของ Bu_2SnCl_2 ที่ความเข้มข้น 0.25% ใน solvent 150....	164
ค.12	กราฟ TGA ของ Bu_2SnCl_2 ที่ความเข้มข้น 0.5% ใน solvent 150....	164
ค.13	กราฟ TGA ของ Bu_2SnCl_2 ที่ความเข้มข้น 1.0% ใน solvent 150....	165
ค.14	กราฟ TGA ของ Bu_2SnCl_2 ที่ความเข้มข้น 2.0% ใน solvent 150....	165
ค.15	กราฟ TGA ของ $\text{Bu}_2\text{Sn}(\text{dtc})_2$ ที่ความเข้มข้น 0.1% ใน solvent 150..	166
ค.16	กราฟ TGA ของ $\text{Bu}_2\text{Sn}(\text{dtc})_2$ ที่ความเข้มข้น 0.25% ใน solvent 150.	166

รายการรูปประกอบ (ต่อ)

รูปที่

หน้า

ค.17	กราฟ TGA ของ $Bu_2Sn(dtcl)_2$ ที่ความเข้มข้น 0.5% ใน solvent 150..	167
ค.18	กราฟ TGA ของ $Bu_2Sn(dtcl)_2$ ที่ความเข้มข้น 1.0% ใน solvent 150..	167
ค.19	กราฟ TGA ของ $Bu_2Sn(dtcl)_2$ ที่ความเข้มข้น 2.0% ใน solvent 150..	168
ค.20	กราฟ TGA ของ Oct_4Sn ที่ความเข้มข้น 0.1% ใน solvent 150.....	168
ค.21	กราฟ TGA ของ Oct_3SnCl ที่ความเข้มข้น 0.1% ใน solvent 150.....	169
ค.22	กราฟ TGA ของ $Ph_3Sn(dtcl)$ ที่ความเข้มข้น 0.1% ใน solvent 150... 169	
ค.23	กราฟ TGA ของ dewax base	170
ค.24	กราฟ TGA ของ $Bu_2Sn(dtcl)_2$ ที่ความเข้มข้น 0.25% ใน dewax base..	170
ค.25	กราฟ TGA ของ reused lube	171
ค.26	กราฟ TGA ของ $Bu_2Sn(dtcl)_2$ ที่ความเข้มข้น 0.25% ใน reused lube.....	171

ศูนย์วิทยทรัพยากร
จุฬาลงกรณ์มหาวิทยาลัย

คำอธิบายสัญลักษณ์ และ คำย่อ

R	= หมู่อัลกิล หรือ อัลฟิล
Et	= หมู่เอทิล
Bu	= หมู่บิวทิล
Oct	= หมู่ออกทิล
Ph	= หมู่ฟีนิล
Bu_4Sn	= เตตราบิวทิลทิน
Bu_3SnCl	= ไตรบิวทิลทินคลอไรด์
Bu_2SnCl_2	= ไดบิวทิลทินไดเอกซิลไดไฮด์โอดิคาร์บามेट
$Bu_3Sn(dtac)$	= ไตรบิวทิลทินไดเอกซิลไดไฮด์โอดิคาร์บามे�ต
$Bu_2Sn(dtac)_2$	= ไดบิวทิลทิน บิส ไดเอกซิลไดไฮด์โอดิคาร์บามेत
Oct_4Sn	= เตตราออกทิลทิน
Oct_3SnCl	= ไตรออกทิลทินคลอไรด์
$Oct_3Sn(dtac)$	= ไตรออกทิลทินไดเอกซิลไดไฮด์โอดิคาร์บามेत
Ph_4Sn	= เตตราฟีนิลทิน
Ph_3SnCl	= ไตรฟีนิลทินคลอไรด์
Ph_2SnCl_2	= ไดฟีนิลทินไดเอกซิลไดไฮด์โอดิคาร์บามे�ต
$Ph_3Sn(dtac)$	= ไตรฟีนิลทินไดเอกซิลไดไฮด์โอดิคาร์บามे�ต
$Ph_2Sn(dtac)_2$	= ไดฟีนิลทิน บิส ไดเอกซิลไดไฮด์โอดิคาร์บามे�ต

จุฬาลงกรณ์มหาวิทยาลัย